

Анализ затухания волн: L=640, DW=240, R=0.0

Параметры моделирования

- Длина образца: $L = 640$ м
- Ширина образца: $DW = 240$ м
- Коэффициент затухания: $R = 0.0$
- Модуль Юнга: E , Коэффициент Пуассона: ν , Плотность: ρ

Расчётные скорости волн

- Аналитическая скорость продольной волны: $v_p = 376.43$ м/с
- Аналитическая скорость поперечной волны: $v_s = 201.21$ м/с
- Аналитическая скорость Рэлеевской волны: $v_r = 186.35$ м/с
- Временной шаг: $\Delta t = 3.41e - 04$ с
- Экспериментальная скорость поперечной волны: $v_s^{exp} = 250.00$ м/с
- Экспериментальная скорость отраженной продольной волны: $v_p^{ref} = 192.25$ м/с
- Величина ошибки: $\varepsilon = 3.49e - 07$

Анализ прихода продольной волны

- Аналитическое время прихода продольной волны: $t_{analytical} = 1.70$ с
- Экспериментальный индекс прихода продольной волны: 5094
- Экспериментальное время прихода продольной волны: $t_{wave} = 1.74$ с
- Скорость пришедшей продольной волны: $v_p^{exp} = 368.66$ м/с
- Длина продольной волны в индексах: 1802
- Длина продольной волны в метрах: $\lambda_p = 226.35$ м

Анализ пересечения волн

- Экспериментальное время пересечения волн: $t_{intersection} = 2.20$ с
- Экспериментальный индекс пересечения волн: 6461
- Экспериментальное расстояние пересечения волн: $x_{intersection} = 550.45$ м
- Номер приемника, ближайшего к пересечению: 28
- Индекс прихода падающей волны через ресивер пересечения: 4457

Визуализация тензора

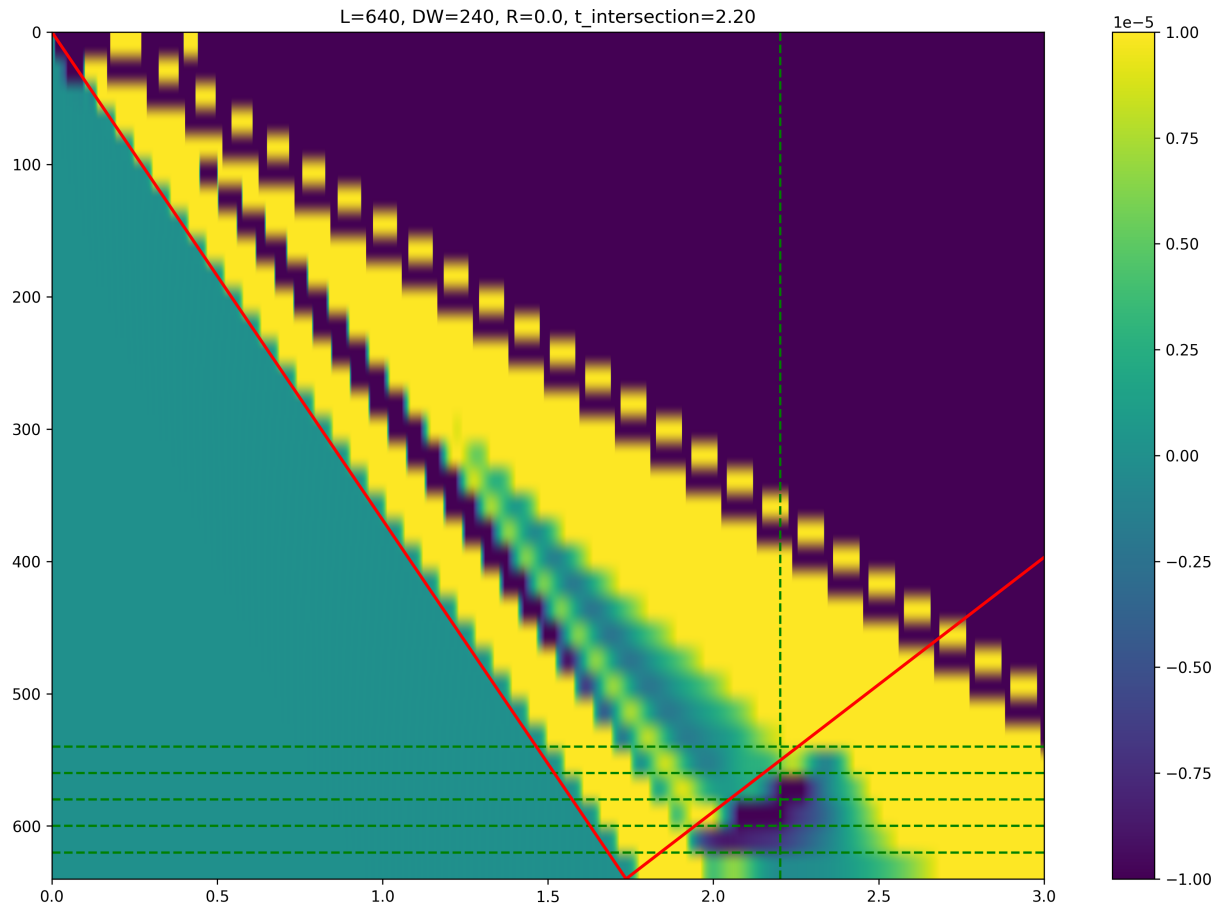


Рис. 1: Визуализация распространения волн в среде

Анализ волн

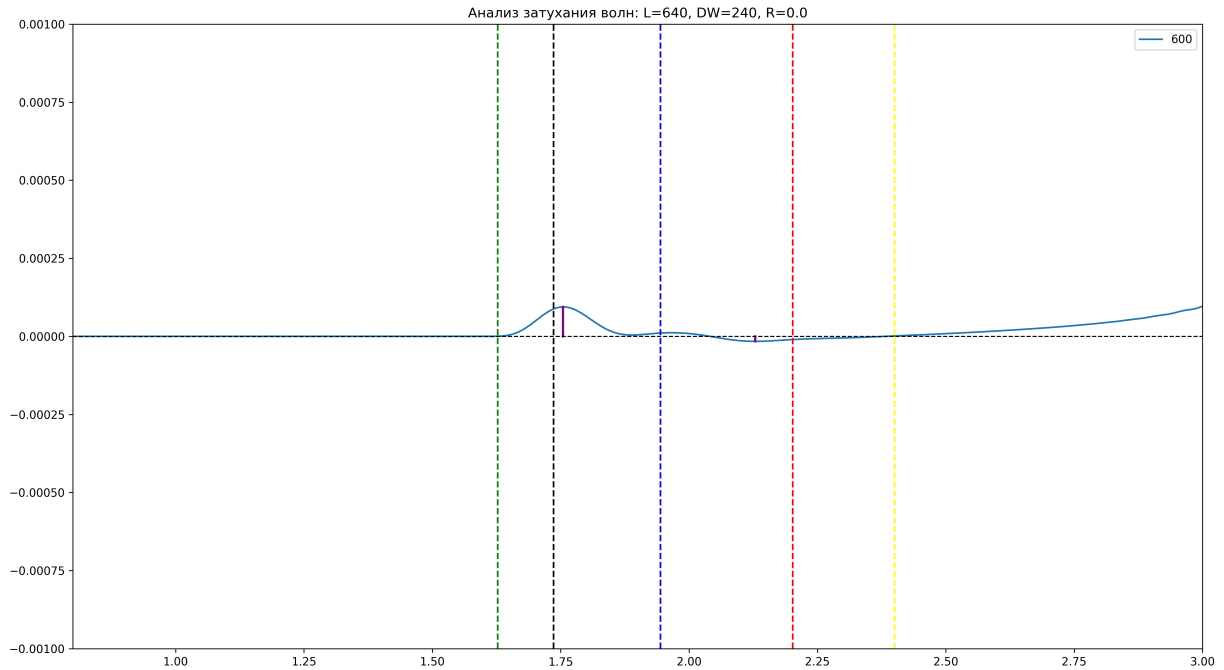


Рис. 2: Анализ падающих и отраженных волн

Результаты анализа амплитуд

Позиция (м)	$t_{p,fall}$ (с)	$t_{p,refl}$ (с)	$t_{s,fall}$ (с)	t_{int} (с)	$A_{p,fall}$	$A_{p,refl,0}$	$A_{p,refl,1}$	Ratio 0 (%)	Ratio 1 (%)
600.0	1.627	1.944	2.400	2.202	9.432e-05	1.595e-05	1.595e-05	16.91%	16.91%